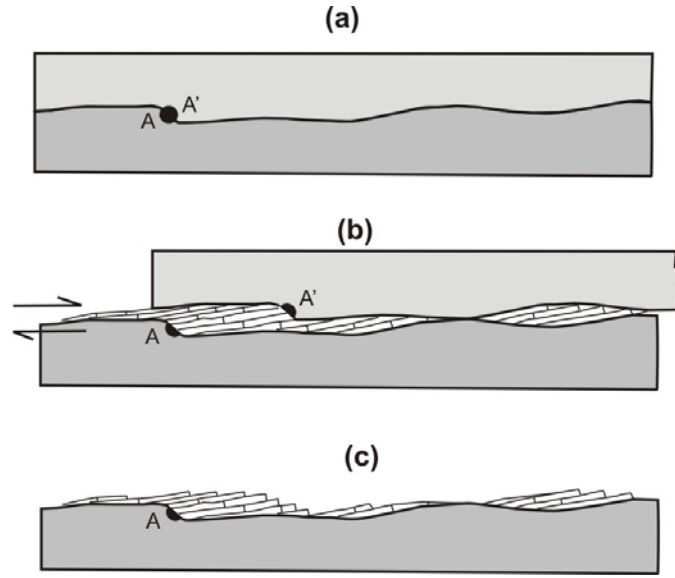


Şekil 1. (a) Bir fay yüzeyinde oluşabilecek sintetik Riedel kırığı (R), antitetik Riedel kırığı (R'), P-kırığı (P) ve damarların ana fayla ilişkisini gösteren diyagram (\leftarrow : içsel sürtünme açısı), (b) tamamen R ve R' düzlemlerinden oluşan fay yüzeyi, (c) yoğunca çizilmiş fay yüzeyi. R-kırıkları taban bloğun içine doğru 5-15° eğimli, (d) R-kırıkları genelde fay düzleminin içine doğru içbükey yapı oluşturdukları için fay düzlemi üzerinde oluşan "yarım ay" şeklindeki boşluk oldukça karakteristiktir, (e) taban bloğun içine doğru hafifçe eğimli düzlemsel ve çiziksiz yüzeyler. Bu yüzeyler, Petit (1987) tarafından "T" yüzeyleri olarak adlanmıştır. Fay çizikli P-yüzeyleri ise, hareket yönüne doğru gelişmektedir, (f) araları mesafeli, çizikli P-yüzeylerinin geliştiği fay düzlemi, (g) T-yüzeylerinin gelişmediği, ancak çizikli P-yüzeylerinin hareket yönüne doğru geliştiği durum, (h) açılma çatlaklarının ana fayla yaptıkları açı önce 45° iken, ilerleyen deformasyon nedeniyle bu açı büyüyebilir. Hancock ve Barka (1987) tarafından "comb fractures" olarak tanımlanan bu çatlakların eğim açısı çoğunlukla 30° ve 90° arasındadır, (i) hilal izleri. Aşınmış bloğun hareketi doğrultusunda içbükey şeklini alan damarlar bu yapıyı oluşturur (b-i arasındaki diyagramlar Petit (1987)'den değiştirilerek alınmıştır).



Şekil 2. Kristal lif lineasyonun kinematik oluşum aşamaları: (a) fay yüzeyinin oluşumu, (b) fayın hareketi ve kristal liflerinin gerilimin en düşük olduğu doğrultuda büyümesi ve (c) aşınma ile kristal liflerinin asimetrik sırtlar oluşturacak şekilde yüzeylemesi (Durney ve Ramsey (1973)'den değiştirilerek çizilmiştir).

